

固体酸化物形燃料電池開発の将来展望

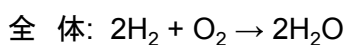
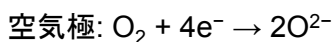
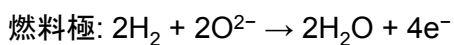
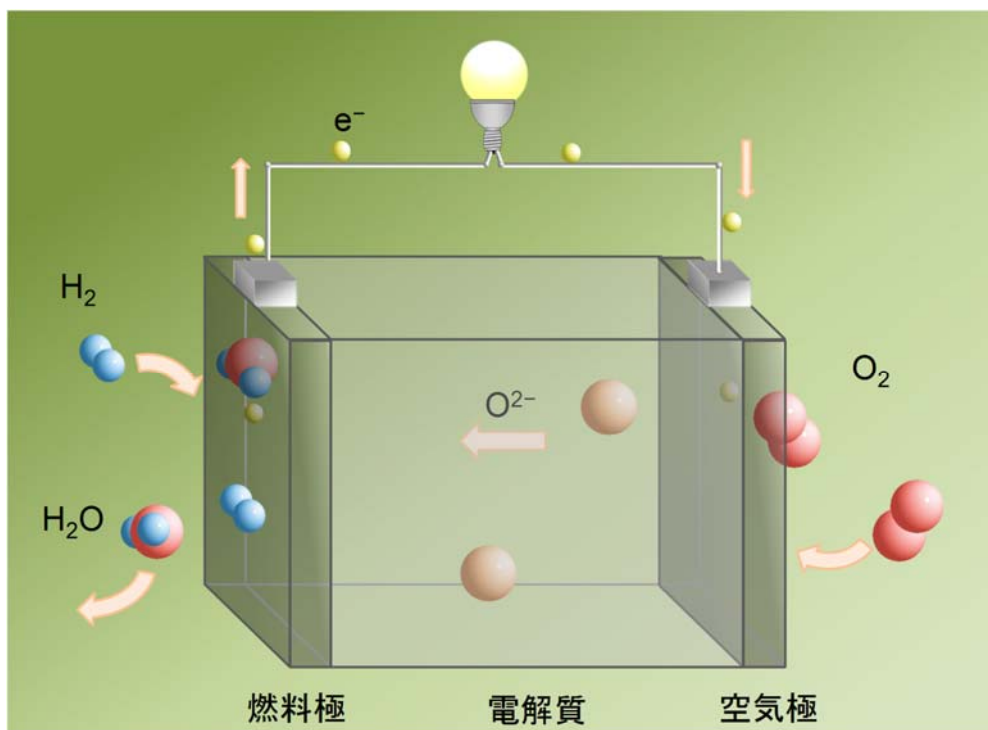
第5回SPring-8グリーンサステナブルケミストリー研究会
2016. 12. 16

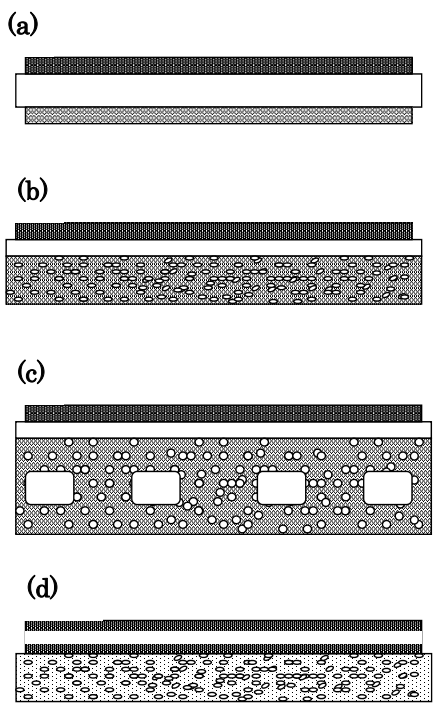
京都大学工学研究科

江 口 浩 一



固体酸化物形燃料電池(SOFC)の発電原理





SOFCの支持方式
(a)電解質自己支持型

(b) 電極支持型
カソード支持
アノード支持 多数

(c)ガス流路付電極支持型

(d) 多孔質支持型
セラミックス多孔体
金属多孔体

3

Analytical Instruments

FIB-SEM



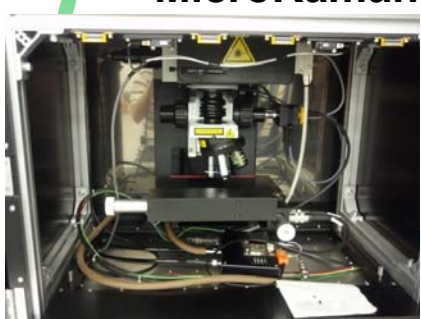
FE-TEM



SPM

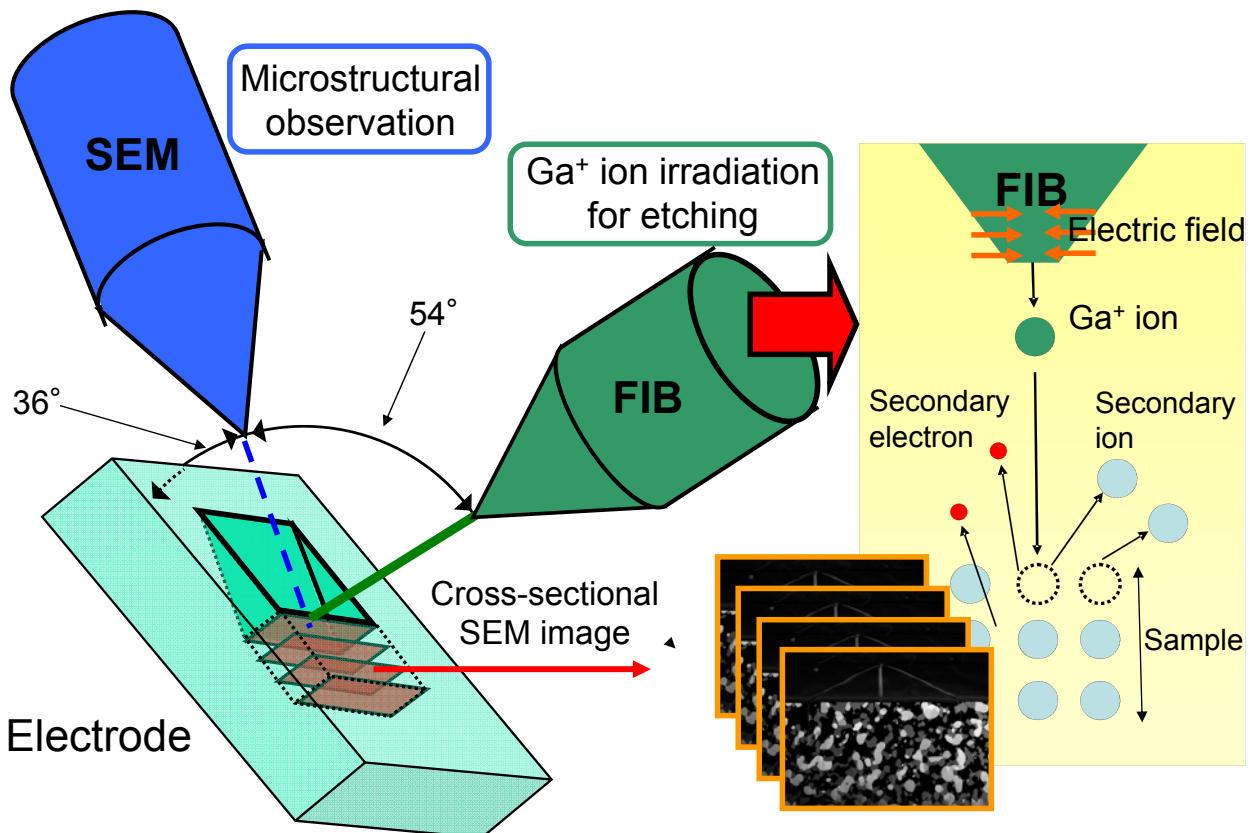


MicroRaman

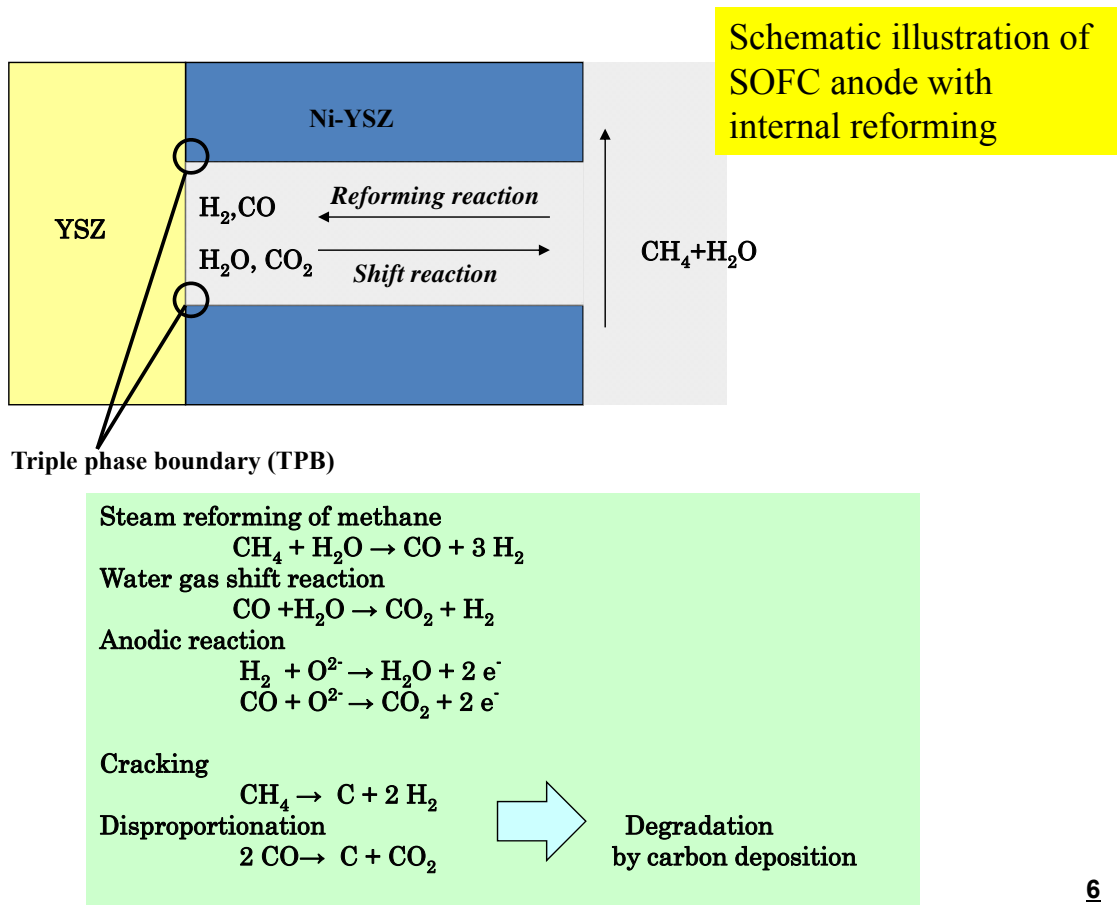


4

Three dimensional microstructure by FIB-SEM



5



6

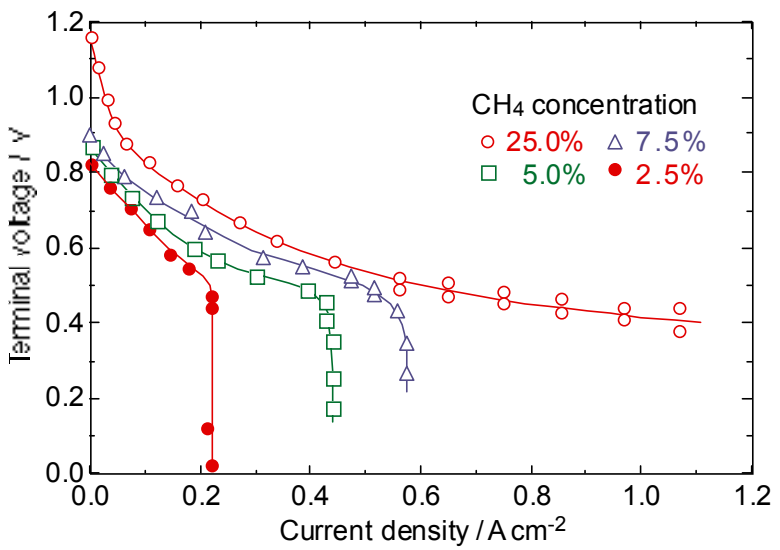
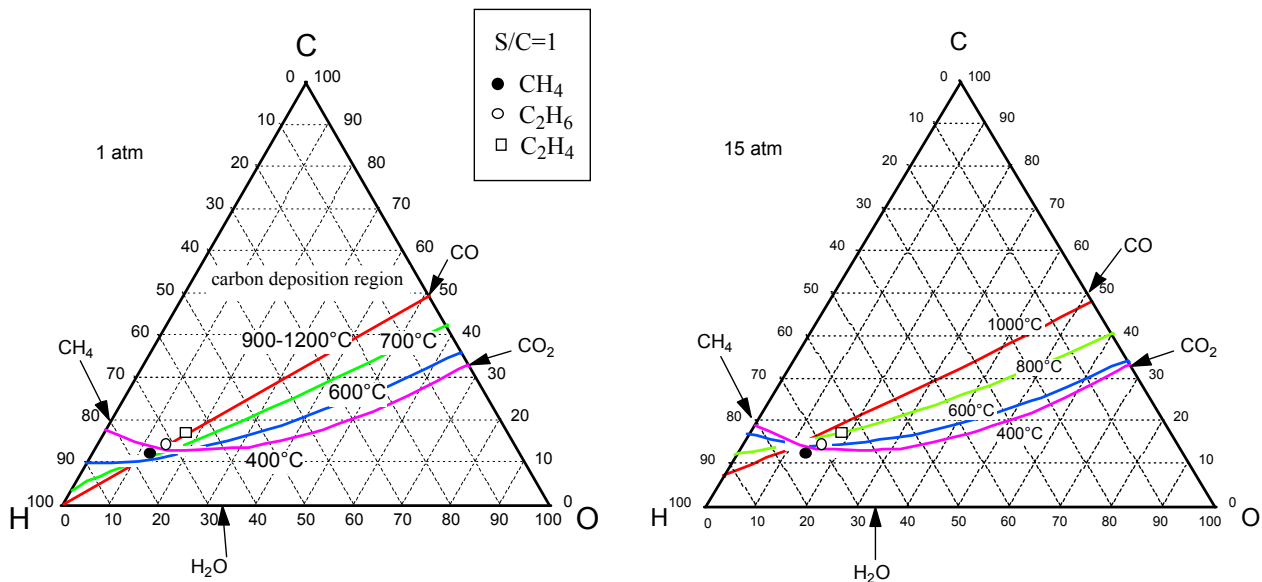
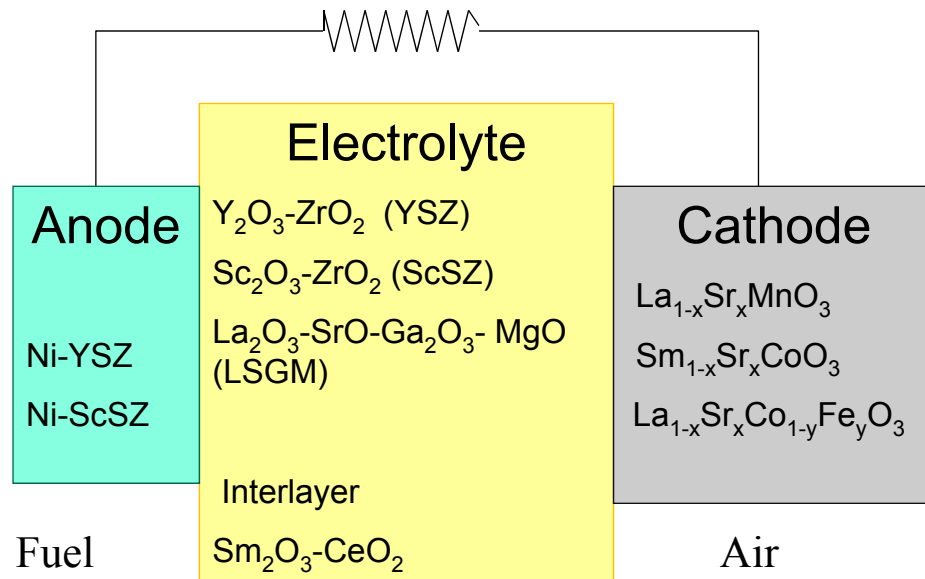


Fig. Influence of CH_4 concentration on I-V characteristics at 1000°C .

Cell: $\text{CH}_4\text{-H}_2\text{O}$, Ni-YSZ / YSZ / $\text{La}_{0.6}\text{Sr}_{0.4}\text{MnO}_3$, air
Flow rate of fuel gas: 200 ml min^{-1} , H_2O concentration: 25%



Component materials for SOFC



9

各エネルギーキャリアの水素貯蔵密度、沸点

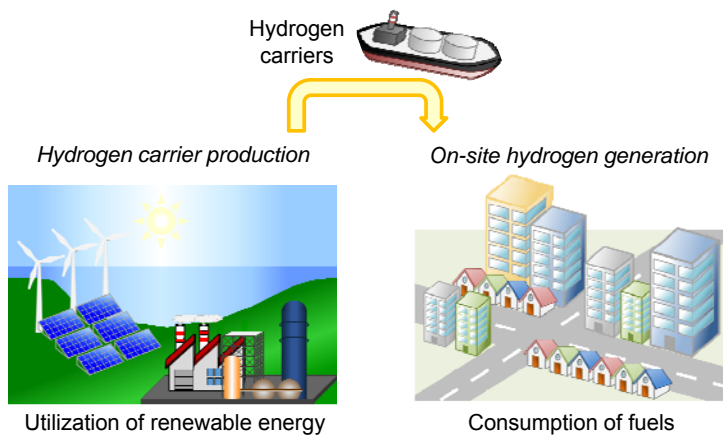
エネルギーキャリア	水素貯蔵密度(kg-H ₂ / m ³ -liq.)		沸点 (°C)
	分子式中	反応により生成	
アンモニア, NH ₃	120	-	-33.3
$2\text{NH}_3 \rightarrow \text{N}_2 + 3\text{H}_2$	-	120	-
有機ハイドライド, C ₇ H ₁₄	110.0	-	101
$\text{C}_7\text{H}_{14} \rightarrow \text{C}_7\text{H}_8 + 3\text{H}_2$	-	47	-
メタン, CH ₄	106		-162
$\text{CH}_4 + 2\text{H}_2\text{O} \rightarrow \text{CO}_2 + 4\text{H}_2$		212	-
メタノール, CH ₃ OH	99		64.7
$\text{CH}_3\text{OH} + \text{H}_2\text{O} \rightarrow \text{CO}_2 + 3\text{H}_2$		148	-
ジメチルエーテル(DME), CH ₃ OCH ₃	96	-	-24.8
$(\text{CH}_3)_2\text{O} + 3\text{H}_2\text{O} \rightarrow 2\text{CO}_2 + 6\text{H}_2$	-	192	-
液体水素	71		-252
圧縮水素 (70 MPa)	39 (kg / m ³ -gas)		-

10

Ammonia as Hydrogen Carrier

Hydrogen

- ✓ Primary fuel source for fuel cell
- ✓ Low volume density
- ✓ Difficulty in storage and transportation



Ammonia

- ✓ High H₂ density
- ✓ Carbon-free
- ✓ High boiling point
- ✓ Ease in liquefaction and transportation
- ✓ Hydrogen production via decomposition reaction

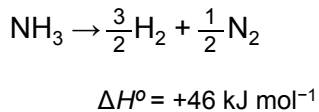
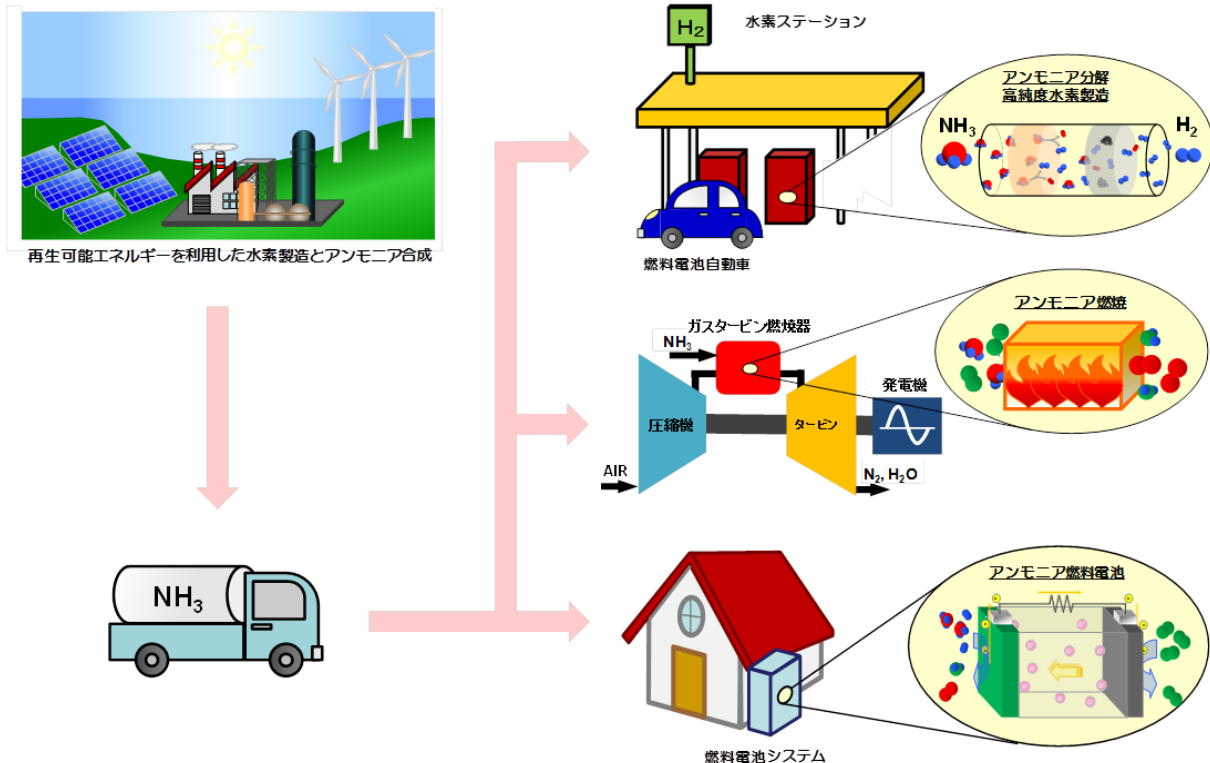


Table H₂ density and boiling point of liquid H₂, NH₃, and C₇H₁₄ (Methylcyclohexane)

	H ₂ density (kg-H ₂ / m ³ -liq.)	Boiling point (°C)
Liquid H ₂	70.8	-252.6
NH ₃	120.3	-33.3
C ₇ H ₁₄ (Methylcyclohexane)	47.1	101.1





SOFC評価装置（京都大学集中研究室）



京都大学、ノリタケ、三井化学、トクヤマ、日本触媒、豊田自動織機、IHI

Hydrogen carrier & energy conversion technology

➤ Ammonia as a promising hydrogen carrier:

*High H₂ density, Carbon-free, Low production cost, High boiling point,
Ease in liquefaction and transportation, etc.*

	H ₂ density (kg-H ₂ / m ³ -liq.)	Boiling point (°C)	ΔH _r (kJ/mol-H ₂)
Liquid H ₂	70.8	-252.6	-
NH ₃	120.3	-33.3	30.6 $2\text{NH}_3 \rightarrow \text{N}_2 + 3\text{H}_2$
C ₇ H ₁₄ (Methylcyclohexane)	47.1	101.1	80.0 $\text{C}_7\text{H}_{14} \rightarrow \text{C}_7\text{H}_8 + 3\text{H}_2$

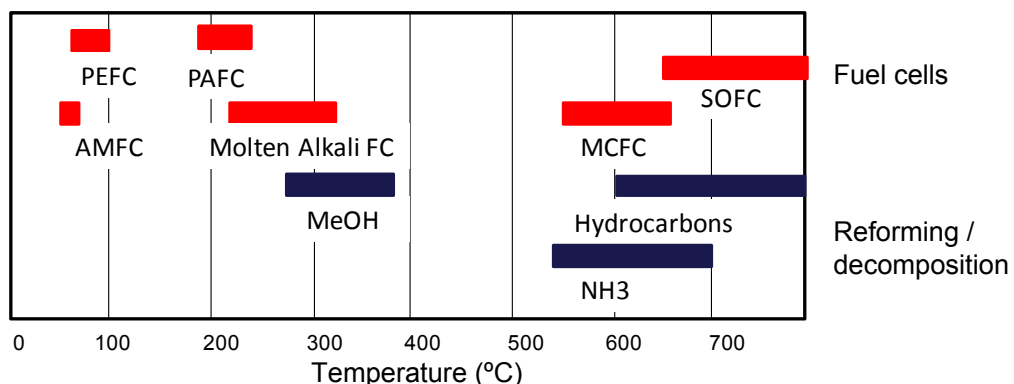
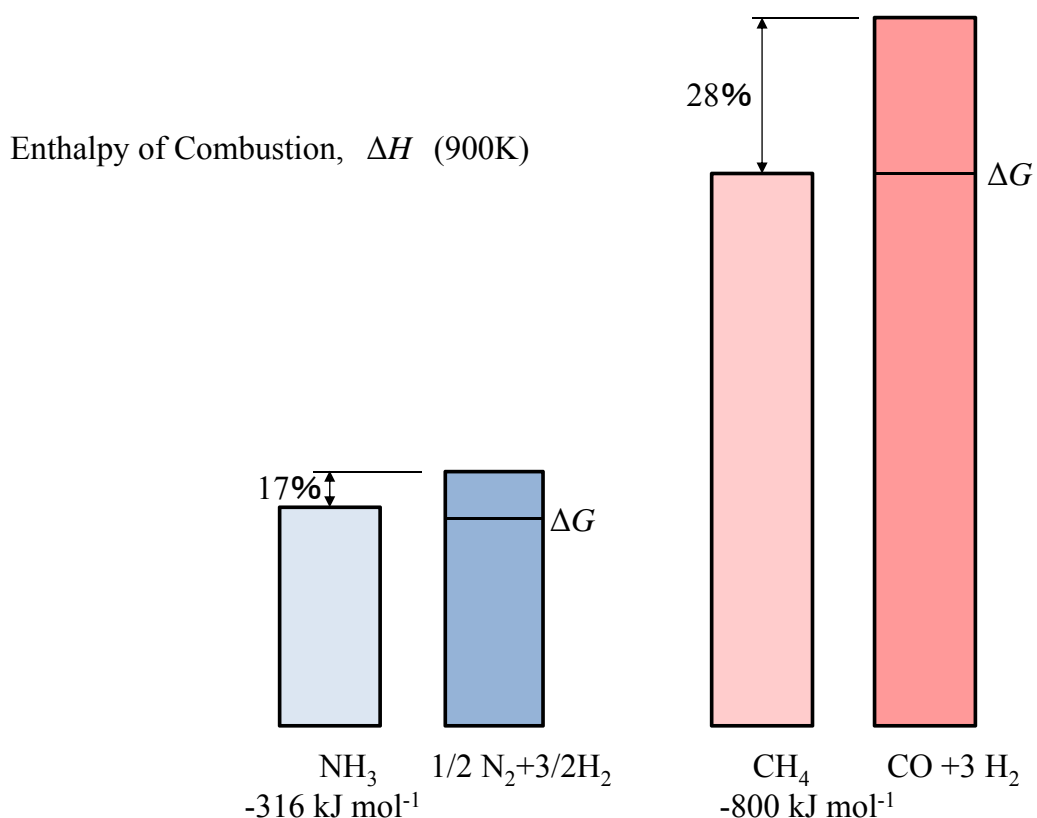


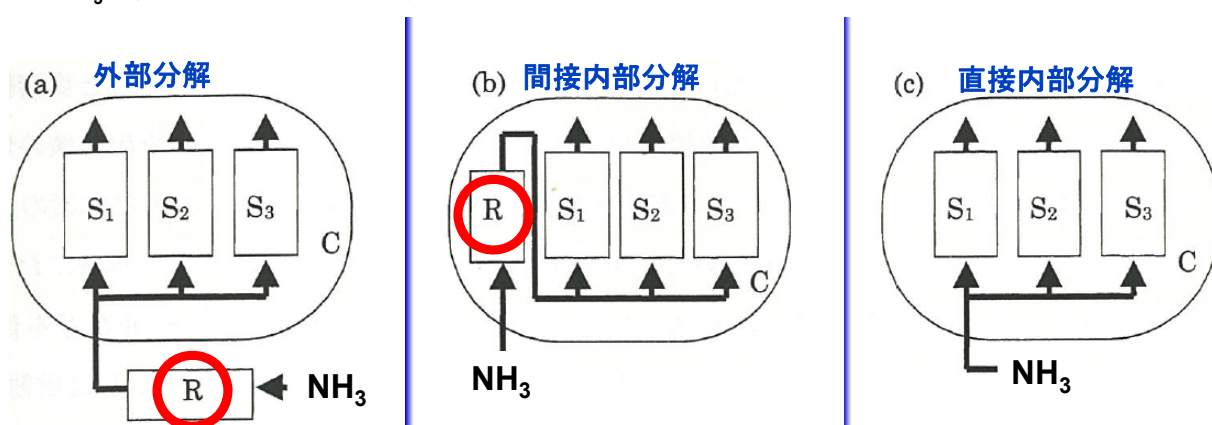
Fig. Operating temperature ranges of fuel cells and catalytic reformers



15

アンモニア燃料電池の運転方式

R: NH₃分解反応器, C:燃料電池室, S:SOFC STACK



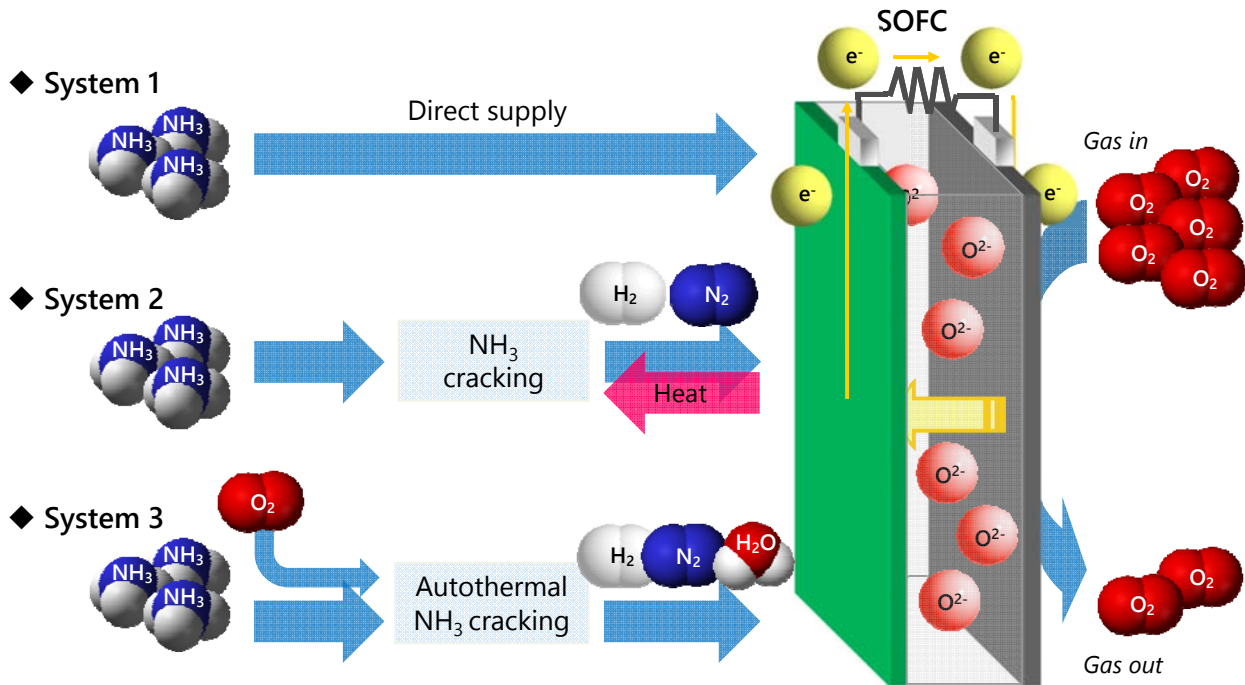
- NH₃分解触媒反応器を流路上に別途設置
- 各反応器性能を最大限に引き出すことが可能
- エネルギーロスが大きい
- システムが大型化
- 定置用途

- 反応器をFC室内に設置
- 熱収支のバランスに優れたシステム設計が可能
- 定置・可搬用途

- NH₃分解反応器の設置不要
- NH₃分解と発電反応を電極上で同時に実現
- システムの簡素化が可能
- 多機能化電極の開発が必要
- 熱管理が重要
- 定置・可搬用途

Ammonia-fueled Solid Oxide Fuel Cell System

3



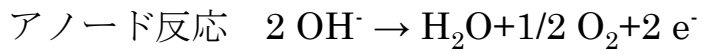
電気分解による水素製造

濃厚アルカリ水溶液電解質水電解

高濃度KOH水溶液

低炭素鋼、ニッケルなど金属電極

多孔質隔膜による気体分離 高電流密度でガス抵抗が



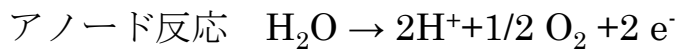
プロトン交換膜電解質水電解

プロトン交換膜

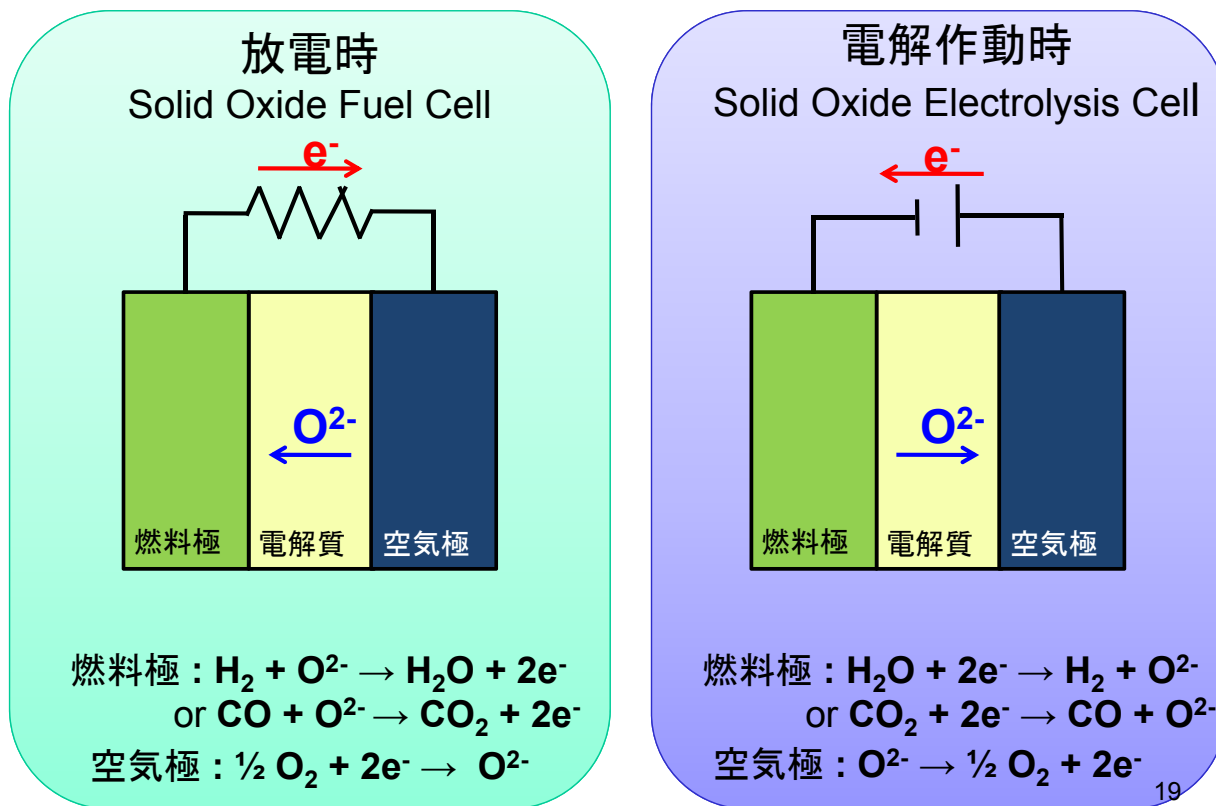
Ir基合金電極（Pt電極では劣化）

膜による気体分離→99.999%以上の高純度水素

差圧式高圧水電解スタック



Solid Oxide Regenerative Fuel Cell



酸化物イオン伝導体電解質水蒸気電解

安定化ジルコニア固体電解質を使用した固体酸化物電解セル (Solid Oxide Electrochemical Cell: SOEC)

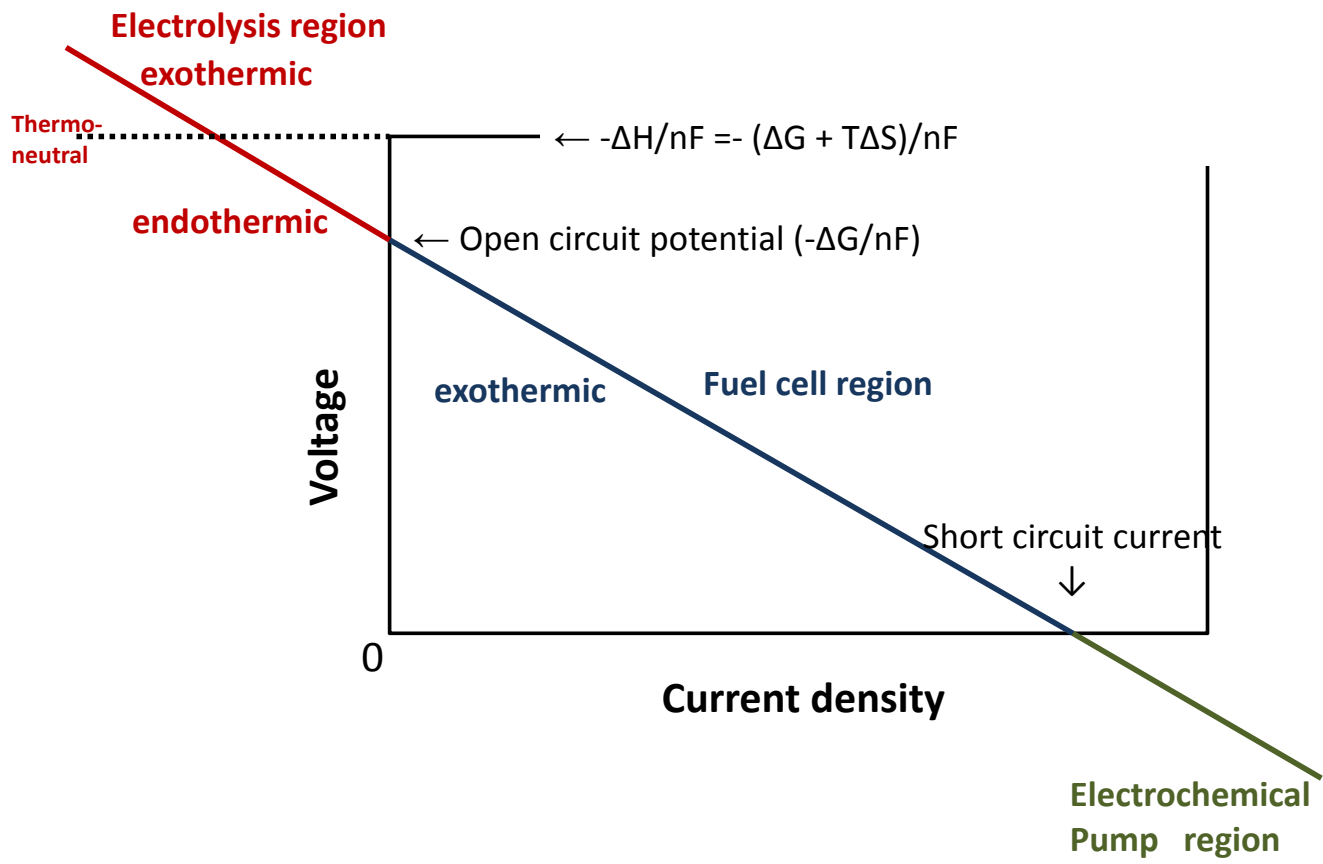
動作温度 : 800-900°C

水の理論分解電圧, E^0 : 高温ほど減少

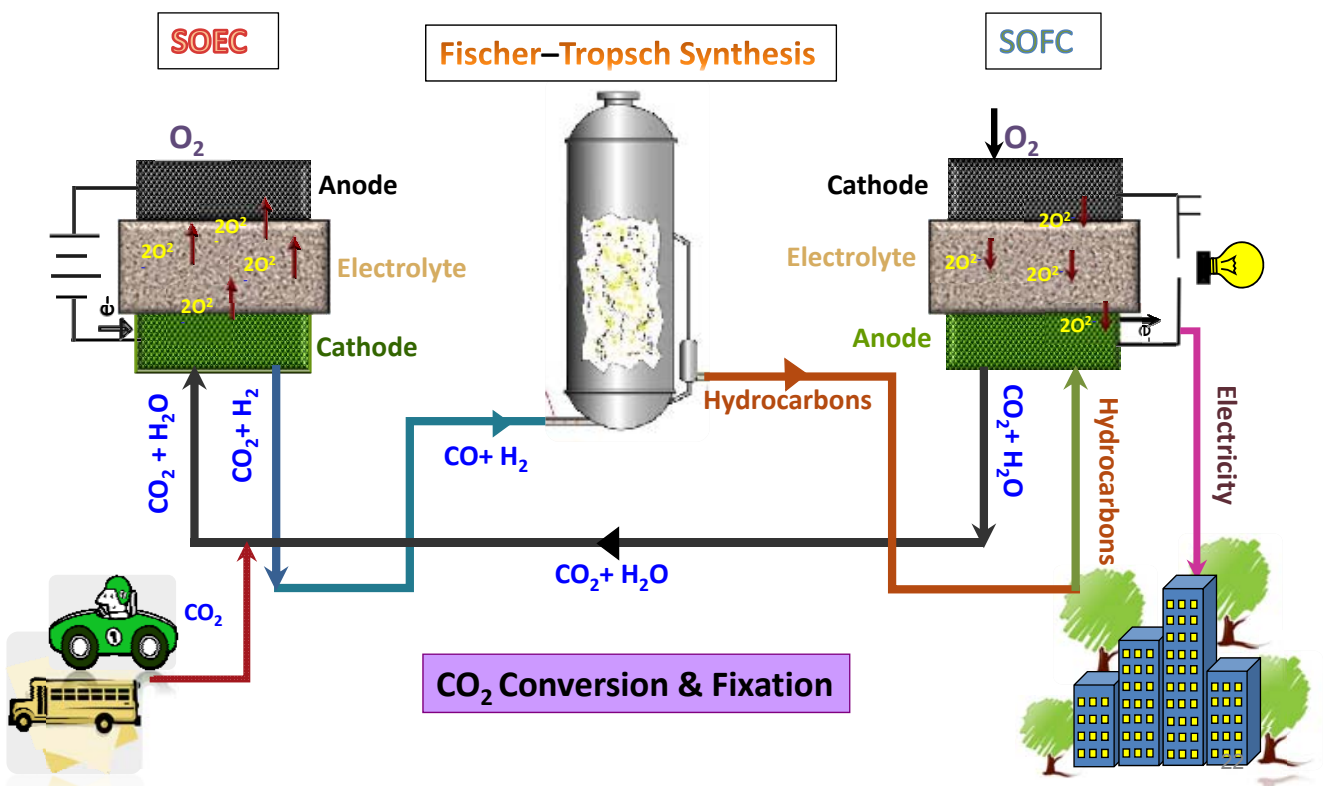
SOECの逆動作の固体酸化物形燃料電池と組み合わせ
可逆的な動作(蓄熱体と組み合わせ) :Regenerative cell

アノード反応 $O^{2-} \rightarrow \frac{1}{2} O_2 + 2 e^-$

カソード反応 $H_2O + 2 e^- \rightarrow H_2 + O^{2-}$



I-V Characteristics of electrochemical cell



固体酸化物形燃料電池の開発と燃料適応性

1. SOFCの利用分野と開発

- 家庭用燃料電池
- 業務用燃料電池
- ハイブリッドシステム
- 移動用

2. SOFCの劣化対策

- 燃料極の劣化にともなう微構造変化
- 燃料極の酸素ポテンシャル

3. SOFCの燃料適応性

- 燃料適応性と炭素析出

4. 水素キャリアとしてのアンモニアの利用

- アンモニアSOFCの発電特性

5. 固体酸化物形電解セル

- $H_2O + CO_2$ 共電解